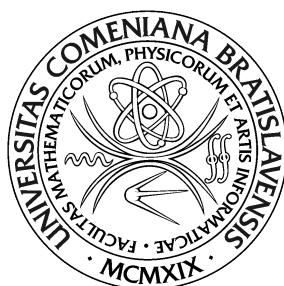


UNIVERZITA KOMENSKÉHO V BRATISLAVE
FAKULTA MATEMATIKY, FYZIKY A INFORMATIKY



GRUPY AUTOMORFIZMOV LINEÁRNYCH KÓDOV

Diplomová práca

2022

Bc. Branislav Boráň

UNIVERZITA KOMENSKÉHO V BRATISLAVE
FAKULTA MATEMATIKY, FYZIKY A INFORMATIKY



GRUPY AUTOMORFIZMOV LINEÁRNYCH KÓDOV

Diplomová práca

Študijný program: Aplikovaná informatika
Študijný odbor: 2511 Aplikovaná informatika
Školiace pracovisko: Katedra algebry a geometrie
Školiteľ: doc. RNDr. Róbert Jajcay, DrSc.

Bratislava, 2022

Bc. Branislav Boráň



Univerzita Komenského v Bratislave
Fakulta matematiky, fyziky a informatiky

ZADANIE ZÁVEREČNEJ PRÁCE

Meno a priezvisko študenta: Branislav Boráň
Študijný program: aplikovaná informatika (Jednoodborové štúdium, magisterský II. st., denná forma)
Študijný odbor: informatika
Typ záverečnej práce: diplomová
Jazyk záverečnej práce: anglický
Sekundárny jazyk: slovenský

Názov: Automorphism groups of linear codes and linear codes with prescribed automorphism groups
Grupy automorfizmov lineárnych kódov a lineárne kódy s predpísanou grupou automorfizmov

Anotácia: Lineárne kódy sú podpriestory konečnorozmerných vektorových priestorov nad konečnými poľami. Majú preto bohaté grupy automorfizmov, ktoré zároveň obsahujú množstvo informácií o uvažovanom kóde. Určenie úplnej grupy automorfizmov kódu je výpočtovo náročná úloha. Namiesto určenia grupy automorfizmov pre daný kód sa preto uvažuje obrátená úloha zostrojenia kódu s predpísanou grupou automorfizmov. Cieľom práce je preskúmať oba smery tejto interakcie.

Cieľ: Cieľom navrhovanej problematiky je poskytnúť študentovi výpočtovo zložitý problém vyžadujúci dôkladné porozumenie štruktúry uvažovaných objektov ako aj programátorské a organizačné schopnosti.

Literatúra: R. Hill, A first course in coding theory, Oxford University Press, 1993
S. Roman, Coding and information theory, Springer, 1992
R. Jajcay, P. Potocnik and Stephen E. Wilson, Half-cyclic, dihedral and half-dihedral codes, J. of Applied Mathematics and Computing 64 (2020), 691-708.

Kľúčové slová: lineárny kód, grupa automorfizmov, konečné pole

Vedúci: doc. RNDr. Róbert Jajcay, DrSc.
Katedra: FMFI.KAG - Katedra algebry a geometrie
Vedúci katedry: doc. RNDr. Pavel Chalmovianský, PhD.
Dátum zadania: 09.12.2020
Dátum schválenia: 10.12.2020

prof. RNDr. Roman Ďurikovič, PhD.
garant študijného programu

študent

vedúci práce

Čestne prehlasujem, že túto diplomovú prácu som
vypracoval samostatne len s použitím uvedenej literatúry
a za pomoci konzultácií u môjho školiteľa.

Bratislava, 2022

.....

Bc. Branislav Boráň

Pod'akovanie

Chcel by som sa v prvom rade poďakovať môjmu školiťovi doc. RNDr. Róbertovi Jajcayovi, DrSc. za odbornú pomoc a usmernenia pri písaní tejto práce, za materiály, cenné rady, ktoré mi veľmi pomohli pri riešení tejto diplomovej práce. V neposlednom rade chcem tiež poďakovať všetkým mojím kamarátom a celej mojej rodine za podporu počas môjho štúdia.

Abstrakt

Táto práca sa venuje problematike xxxxxxxxxx. Súčasťou tejto práce je prehľad existujúcich riešení a ich krátke zhodnotenie. Ďalej je tu xxxxx. Čo sa tu rieši.

Kľúčové slová: automorfizmus grúp,

Abstract

english abstract

Keywords: Automorphism groups, ...

Obsah

| | | |
|----------|--|-----------|
| 1 | Úvod | 1 |
| 2 | Motivácia | 2 |
| 3 | Analýza problému | 3 |
| 3.1 | Lineárny kód | 3 |
| 3.1.1 | Generujúca matica lineárneho kódu | 3 |
| 3.1.2 | Kontrolná matica lineárneho kódu | 4 |
| 3.1.3 | LDPC kódy | 4 |
| 3.1.4 | Kvázicyklický kód | 4 |
| 3.2 | Grafová reprezentácia LDPC kódov | 5 |
| 3.2.1 | Základné pojmy | 5 |
| 3.2.2 | Automorfizmus grafu | 6 |
| 3.2.3 | Klietky | 7 |
| 4 | Návrh riešenia | 11 |
| 4.1 | Generovanie a skúmanie incidenčných matíc, grúp automor- fizmov z klietok | 11 |
| 4.1.1 | Klietka je zadaná | 11 |
| 4.1.2 | Generovanie klietky | 12 |

| | | |
|----------|---|-----------|
| 4.2 | Generovanie a skúmanie kliebok, grúp automorfizmov z inci- | |
| | denčných matíc | 12 |
| 4.2.1 | Incidenčná matica je zadaná | 12 |
| 4.2.2 | Generovanie incidenčnej matice | 12 |
| 5 | Výsledky | 13 |
| 5.1 | Generovanie a skúmanie incidenčných matíc, grúp automor- | |
| | fizmov zo zadaných kliebok | 13 |
| 5.1.1 | Petersenov graf - $cage(3, 5)$ | 13 |
| 5.1.2 | Heawoodov graf - $cage(3, 6)$ | 15 |
| 5.1.3 | McGeeho graf - $cage(3, 7)$ | 17 |
| 5.1.4 | Tutte - Coxeterov graf - $cage(3, 8)$ | 19 |
| 5.1.5 | Balabanov graf - $cage(3, 10)$ | 22 |
| 5.1.6 | Robertsonov graf - $cage(4, 5)$ | 26 |
| 5.1.7 | Hoffman - Singletonov graf - $cage(7, 5)$ | 28 |
| 5.1.8 | Generovanie kliebky a následné skúmanie incidenčných | |
| | matíc, grúp automorfizmov | 33 |
| 5.1.9 | $cage(6, 4)$ | 33 |
| 5.2 | Generovanie a skúmanie kliebok, grúp automorfizmov zo zada- | |
| | ných incidenčných matíc | 36 |
| 5.3 | Generovanie incidenčných matíc a následné skúmanie kliebok, | |
| | grúp automorfizmov | 36 |
| 6 | Záver | 37 |

Kapitola 1

Úvod

xxxxxxx

Kapitola 2

Motivácia

xxxxxxx

Kapitola 3

Analýza problému

3.1 Lineárny kód

Lineárny kód (n, k) je k -rozmerný lineárny podpriestor priestoru F_n^2 . F_n^2 je priestor n -rozmerných vektorov, kde koordináty berieme z poľa F^2 . k -rozmerný lineárny podpriestor obsahuje práve k lineárne nezávislých vektorov. Ak by sme zobrali k takých vektorov, potom tieto vektory generujú daný k -rozmerný podpriestor a hovoríme, že tvoria bázu podpriestoru. Ak je splnená vlastnosť modulo 2 (q) súčtu 2 kódových slov je kódové slovo, tak vieme nájsť Generačnú maticu lineárneho kódu.

3.1.1 Generujúca matica lineárneho kódu

Generujúca matica lineárneho kódu (G) je zostrojená z bázy lineárneho kódu tak, že riadky matice predstavujú prvky bázy. Riadky generujúcej matice sú lineárne nezávislé vektory dĺžky n . Nech \vec{m} je vstup (nekódované slovo), \vec{v} je výstup (kódované slovo), C je označenie lineárneho kódu, potom platí:

$$C = \{\vec{m} \times G : \vec{m} \in F_2^k\}, \quad \vec{v} = \vec{m} \times G \quad (3.1)$$

3.1.2 Kontrolná matica lineárneho kódu

V k -rozmernom linearnom kóde (C) v F_n^2 potom existuje $n - k$ lineárne nezávislých vektorov \vec{v} takých, že každé kódové slovo je kolmé na všetky tieto vektory. Keď týchto $n - k$ vektorov zoberieme ako riadky matice, dostaneme kontrolnú maticu lineárneho kódu H . Ľubovoľný vektor \vec{v} je kódovým slovom práve vtedy, ak platí:

$$C = \{\vec{v} \in F_n^2 : H \times \vec{v}^T = 0\} \quad (3.2)$$

3.1.3 LDPC kódy

LDPC kódy (z angl. low density parity check code) sú lineárne samoopravné kódy, ktoré jednak umožňujú prenos dát rýchlosťou blízkou kapacite kanálu a zároveň pre ne existujú vysoko účinné dekodovacie algoritmy. Kódy majú veľmi riedku kontrolnú maticu, pomocou ktorej sa dajú opraviť chyby v kódových slovách. Ich kontrolná matica obsahuje menej ako 1% jednotiek. Hlavnou nevýhodou väčšiny LDPC kódov je vysoká časová náročnosť ich kódovacieho algoritmu. Výhodou je paralelizmus pri dekódovaní a jednoduché výpočtové operácie. Dekodovacie výpočty sú rozdelené do 2 množín uzlov a to do kontrolných uzlov a premenných uzlov. Uzol na jednej strane je spojený s uzlom na druhej strane, čo umožňuje paralelné výpočty na každej strane.

3.1.4 Kvázicyklický kód

Lineárny kód (C) je kvázicyklický kód, ak existuje kontrolná matica H , ktorá má tvar:

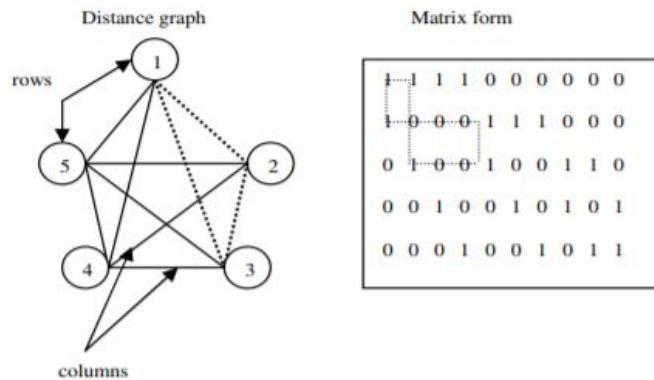
$$H = (H_0 | H_1 | \dots | H_{n_0}^{-1}) \quad (3.3)$$

H_i sú cyklické matice. Ak sú LDPC kvázicyklické, nazývame ich QC-

LDPC kódy.

3.2 Grafová reprezentácia LDPC kódov

Matica LDPC je reprezentovaná Tannerovým grafom. Matica môže byť tiež reprezentovaná nebipartitným grafom alebo grafom vzdialenosti, v ktorom riadky matice predstavujú vrcholy a stĺpce matice reprezentujú hrany grafu. Stĺpec je potom množina hrán formujúca kompletný graf medzi vrcholmi spojenými v stĺpci. Nasledujúci obrázok ilustruje grafovú reprezentáciu matice LDPC kódu odvodenú z grafu vzdialenosti:



Obr. 3.1: Vztah medzi grafom a maticou [Mal07]

Graf vzdialenosti je formovaný cestami hrán alebo vrcholov Cyklus dĺžky g v grafe korešponduje s cyklom dĺžky $2g$ v maticovej forme.

3.2.1 Základné pojmy

- Dĺžka kódu - špecifikuje dimenzie ($M \times N$) kontrolnej matice H . M predstavuje počet riadkov matice a N je počet stĺpcov.

- Kódová váha a rate (R) - predstavuje počet bitov (informácií) nad celkovým počtom prenesených bitov. Rate možno vyjadriť vzťahom:

$$R = (N - M)/N \quad (3.4)$$

- Minimálna Hammingová (kódová) vzdialenosť $\min HW(\vec{u}, \vec{v})$ - Nech sú vektory \vec{u} a \vec{v} kódové slová. Minimálna Hammingová vzdialenosť 2 vektorov $\vec{u} \in F_n^2$ a $\vec{v} \in F_n^2$ je počet koordinátov, na ktorých sa vektory \vec{u} a \vec{v} líšia.
- Obvod (g) - ovplyvňuje dekódovanie LDPC kódu. V grafovej reprezentácii LDPC kódu sa jedná o najmenší cyklus v grafe. Jeho dĺžku zrátavame iba pomocou vrcholov alebo hrán. V matici LDPC kódu je dĺžka obvodu $2g$, pretože cyklus alternuje medzi riadkami a stĺpcami z čoho vyplýva, že cyklus grafu reprezentuje iba polovicu maticového kódu.
- Moorov graf - Pravidelný graf stupňa d a parametra k vo forme stromu vyhľadávania do šírky začínajúceho z ľubovoľného vrcholu V , ktorého počet vrcholov vieme dostať ako:

$$1 + d \sum_{i=0}^{k-1} (d-1)^i \quad (3.5)$$

- Rád grafu - Predstavuje počet vrcholov daného grafu

3.2.2 Automorfizmus grafu

Automorfizmus grafu je permutácia ϕ všetkých vrcholov grafu, ktorá zachováva jeho štruktúru takým spôsobom, že akékoľvek 2 vrcholy U a V susedia

iba vtedy a len vtedy ak platí, že $\phi(U)$ susedí s $\phi(V)$. Zjednodušene môžeme povedať, že sa jedná o bijektívne zobrazenie, pri ktorom sa každý vrchol grafu a každá hrana zobrazí na iný vrchol a hranu, hovoríme tiež, že ide o jeho obraz. Množina všetkých automorfizmov grafu G tvorí grupu automorfizmov $Aut(G)$. Moorové grafy vlastnia grupu automorfizmov, ktorá prechodne pôsobí na vrcholy daného grafu.

3.2.3 Klietky

Na konštrukciu LDPC kódov môžeme využiť grafy vzdialenosti. Tieto grafy delíme na pravidelné s vrcholmi rovnakého stupňa (Moorové grafy) a nepravidelné s vrcholmi rôznych stupňov. Klietka $cage(k, g)$ je k -pravidelný graf obvodu g s najmenším možným počtom vrcholov m . Výpočet minimálneho počtu vrcholov pre klietku sa líši podľa toho, či je jej obvod párny alebo nepárny:

- g - nepárne:

$$m = 1 + \sum_{i=0}^{(g-3)/2} k(k-1)^i = \frac{k(k-1)^{(g-1)/2} - 2}{k-2} \quad (3.6)$$

- g - párne:

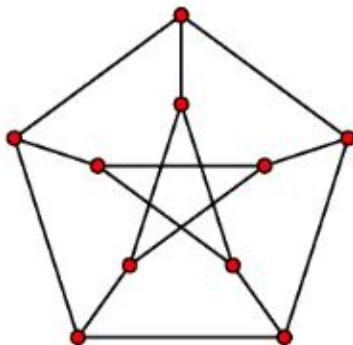
$$m = 2 \sum_{i=0}^{(g-2)/2} k(k-1)^i = \frac{2(k-1)^{g/2} - 2}{k-2} \quad (3.7)$$

Takéto dolné ohraničenie počtu vrcholov m je tiež nazývané ako Moorové ohraničenie a označuje sa tiež $M(k, g)$. Pre klietku ako Moorov graf platí:

$$d = k \quad (3.8)$$

Aj keď neexistuje jednotná konštrukcia kliebok, existuje niekoľko známych kliebok pre stupeň vrchola k a obvod g . Ukážeme si niektoré z nich:

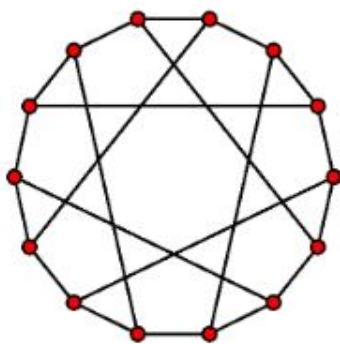
- Petersenov graf - $cage(3, 5)$:



Obr. 3.2: Petersenov graf [EJ11]

Petersenov graf má rád 10. Automorfizmus grúp je izomorfný k $\text{Sym}(5)$. Graf je vrcholovo tranzitívny.

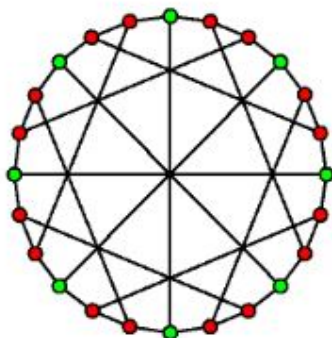
- Heawoodov graf - $cage(3, 6)$:



Obr. 3.3: Heawoodov graf [EJ11]

Heawoodov graf má rád 14 a počet grúp automorfizmov je 336. Graf je vrcholovo tranzitívny.

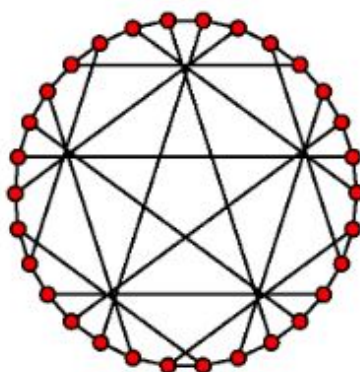
- McGeeho graf - $cage(3, 7)$:



Obr. 3.4: McGeeho graf [EJ11]

McGeeho graf má rád 24 a počet grúp automorfizmov je 32. Graf nie je vrcholovo tranzitívny.

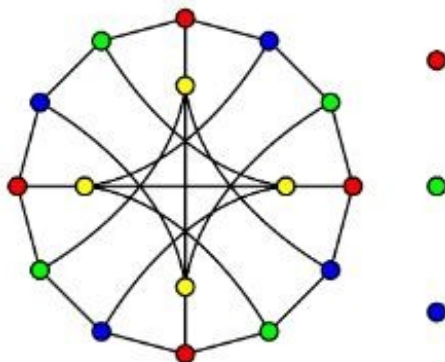
- Tutte-Coxeterov graf - $cage(3, 8)$:



Obr. 3.5: Tutte-Coxeterov graf [EJ11]

Tutte-Coxterov graf má rád 30 a počet grúp automorfizmov je 1440. Graf je vrcholovo tranzitívny.

- Balabanov graf - $cage(3, 11)$: Balabanov graf má 112 vrcholov a počet grúp automorfizmov je 64. Graf nie je vrcholovo tranzitívny.
- Bensonov graf - $cage(3, 12)$: Bensonov graf má 126 vrcholov a počet grúp automorfizmov je 12096. Graf je vrcholovo tranzitívny.
- Robertsonov graf - $cage(4, 5)$:



Obr. 3.6: Robertsonov graf [EJ11]

- ďalšie známe klitky: $cage(4, 7)$ - Exoo, McKay, a Nadonov graf, $cages(5, 5)$: počet grúp automorfizmov je 20, 30 a 120, $cage(7, 5)$ - Hoffman - Singletonov graf, $cage(7, 6)$ - O'Keefe a Wongov graf

Kapitola 4

Návrh riešenia

Problematiku riešime v programe Sage [sag], ktorý je založený na programovacom jazyku Python. Zvolili sme ho, pretože ponúka veľké množstvo vopred naimplementovaných funkcií, ktoré nám podstatne uľahčia prácu s grafmi, maticami a grupami automorfizmov. Využili sme online aplikáciu CoCalc [coc], ktorá nám umožňuje vytvárať Sage projekty priamo na internete. CoCalc prevádzkuje prostredie Ubuntu Linux, s ktorým je možné komunikovať cez terminál a taktiež poskytuje prístup k ďalším možnostiam Linuxu.

4.1 Generovanie a skúmanie incidenčných matic, grúp automorfizmov z kliebok

4.1.1 Kliebka je zadaná

Uvažujeme známe kliebky a na základe nich vieme vygenerovať incidenčnú maticu a zistiť grupu automorfizmov. Tieto známe kliebky vieme rozdeliť do 2 kategórií. V prvej kategórii využijeme tie grafy, ktoré má už Program Sage naimplementované. V druhej kategórii uvažujeme generovanie na základe zo-

znamu susedností jednotlivých vrcholov. Tieto dáta sme získali zo stránky p. Exooa a bolo ich potrebné spracovať do vhodnej grafovej štruktúry.

4.1.2 Generovanie kletky

Uvažujeme existujúce kletky, ktoré je potrebné zostrojiť spoločne s grafom, na základe nich potom vygenerujeme incidenčnú maticu a zistíme grupu automorfizmov. Pre vygenerovanú kletku vieme zistiť všetky potrebné informácie ako v predošlom prípade. Generovanie ja zatiaľ experimentálne ja zatiaľ experimentálne na základe dostupných metód jazyka Sage.

4.2 Generovanie a skúmanie kletok, grúp automorfizmov z incidenčných matíc

4.2.1 Incidenčná matica je zadaná

Uvažujeme známe incidenčné matice, ktoré je potrebné zostrojiť, na základe nich potom vygenerujeme kletku a zistíme grupu automorfizmov.

4.2.2 Generovanie incidenčnej matice

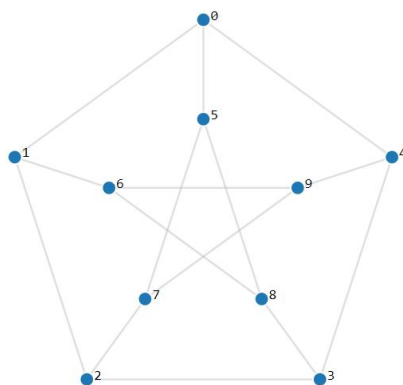
Uvažujeme existujúce incidenčné matice, ktoré je potrebné zostrojiť, na základe nich potom vygenerujeme kletku a zistíme grupu automorfizmov. Generovanie ja zatiaľ experimentálne na základe dostupných metód jazyka Sage.

Kapitola 5

Výsledky

5.1 Generovanie a skúmanie incidenčných matic, grúp automorfizmov zo zadaných klie- tok

5.1.1 Petersenov graf - $cage(3, 5)$



Obr. 5.1: Petersenov graf 2D [coc]



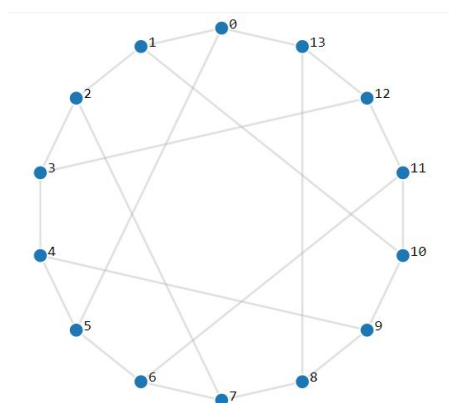
Obr. 5.2: Petersenov graf 3D [coc]

- minimálny počet vrcholov: 10
- rozmer minimálnej matice kódu: 10×15
- obvod cyklu v matici: 10
- minimálny počet hrán: 15
- cykly v grafe: 6 cyklov
 $[[1, 6, 8, 5, 0], [4, 9, 6, 8, 5, 0], [7, 9, 6, 8, 5], [4, 3, 8, 5, 0], [1, 2, 3, 8, 5, 0], [7, 2, 3, 8, 5]]$
- hrany v grafe: 15 hrán
 $[(0, 1, \text{None}), (0, 4, \text{None}), (0, 5, \text{None}), (1, 2, \text{None}), (1, 6, \text{None}), (2, 3, \text{None}),$
 $(2, 7, \text{None}), (3, 4, \text{None}), (3, 8, \text{None}), (4, 9, \text{None}), (5, 7, \text{None}), (5, 8, \text{None}),$
 $(6, 8, \text{None}), (6, 9, \text{None}), (7, 9, \text{None})]$
- počet grúp automorfizmov: 120
- matica lineárneho kódu:

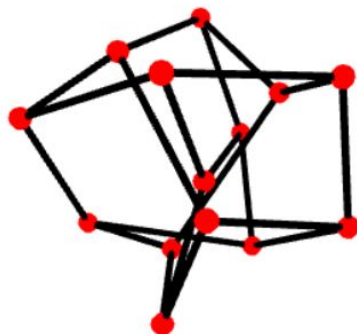
| | | | | | | | | | | | | | | | |
|---|---|---|---|---|---|---|---|---|---|---|---|---|---|---|----|
| [| 1 | 1 | 1 | 0 | 0 | 0 | 0 | 0 | 0 | 0 | 0 | 0 | 0 | 0 | 0] |
| [| 1 | 0 | 0 | 1 | 1 | 0 | 0 | 0 | 0 | 0 | 0 | 0 | 0 | 0 | 0] |
| [| 0 | 0 | 0 | 1 | 0 | 1 | 1 | 0 | 0 | 0 | 0 | 0 | 0 | 0 | 0] |
| [| 0 | 0 | 0 | 0 | 0 | 1 | 0 | 1 | 1 | 0 | 0 | 0 | 0 | 0 | 0] |
| [| 0 | 1 | 0 | 0 | 0 | 0 | 0 | 1 | 0 | 1 | 0 | 0 | 0 | 0 | 0] |
| [| 0 | 0 | 1 | 0 | 0 | 0 | 0 | 0 | 0 | 0 | 1 | 1 | 0 | 0 | 0] |
| [| 0 | 0 | 0 | 0 | 1 | 0 | 0 | 0 | 0 | 0 | 0 | 0 | 1 | 1 | 0] |
| [| 0 | 0 | 0 | 0 | 0 | 0 | 1 | 0 | 0 | 0 | 1 | 0 | 0 | 0 | 1] |
| [| 0 | 0 | 0 | 0 | 0 | 0 | 0 | 1 | 0 | 0 | 1 | 1 | 0 | 0 | 0] |
| [| 0 | 0 | 0 | 0 | 0 | 0 | 0 | 0 | 1 | 0 | 0 | 0 | 1 | 1 | 0] |
| [| 0 | 0 | 0 | 0 | 0 | 0 | 0 | 0 | 0 | 1 | 0 | 0 | 0 | 1 | 1] |

Obr. 5.3: Matica Petersenovho grafu [coc]

5.1.2 Heawoodov graf - $cage(3, 6)$



Obr. 5.4: Heawoodov graf 2D [coc]



Obr. 5.5: Heawoodov graf 3D [coc]

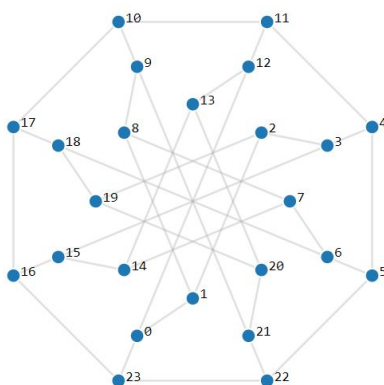
- minimálny počet vrcholov: 14
- rozmer minimálnej matice kódu: 14×21
- obvod cyklu v matici: 12
- minimálny počet hrán: 21
- cykly v grafe: 8 cyklov
 $[[1, 10, 11, 12, 13, 0], [8, 9, 10, 11, 12, 13], [3, 4, 9, 10, 11, 12],$
 $[5, 4, 9, 10, 11, 12, 13, 0], [5, 6, 11, 12, 13, 0], [8, 7, 6, 11, 12, 13],$
 $[1, 2, 7, 6, 11, 12, 13, 0], [3, 2, 7, 6, 11, 12]]$
- hrany v grafe: 21 hrán
 $[(0, 1, \text{None}), (0, 5, \text{None}), (0, 13, \text{None}), (1, 2, \text{None}), (1, 10, \text{None}), (2, 3, \text{None}),$
 $(2, 7, \text{None}), (3, 4, \text{None}), (3, 12, \text{None}), (4, 5, \text{None}), (4, 9, \text{None}), (5, 6, \text{None}),$
 $(6, 7, \text{None}), (6, 11, \text{None}), (7, 8, \text{None}), (8, 9, \text{None}), (8, 13, \text{None}),$
 $(9, 10, \text{None}), (10, 11, \text{None}), (11, 12, \text{None}), (12, 13, \text{None})]$
- počet grúp automorfizmov: 336

- matica lineárneho kódu:

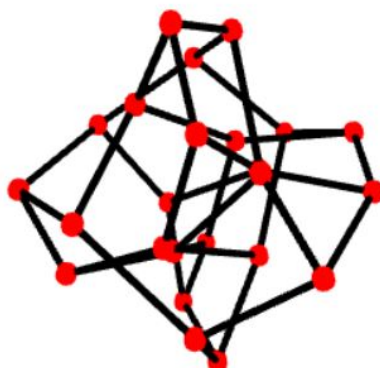
```
[1 1 1 0 0 0 0 0 0 0 0 0 0 0 0 0 0 0 0]
[1 0 0 1 1 0 0 0 0 0 0 0 0 0 0 0 0 0 0]
[0 0 0 1 0 1 1 0 0 0 0 0 0 0 0 0 0 0 0]
[0 0 0 0 0 1 0 1 1 0 0 0 0 0 0 0 0 0 0]
[0 0 0 0 0 0 0 0 1 0 1 1 0 0 0 0 0 0 0]
[0 1 0 0 0 0 0 0 0 0 1 0 1 0 0 0 0 0 0]
[0 0 0 0 0 0 0 0 0 0 0 0 1 1 1 0 0 0 0]
[0 0 0 0 0 0 0 1 0 0 0 0 0 1 0 1 0 0 0]
[0 0 0 0 0 0 0 0 0 0 0 0 0 0 1 1 1 0 0]
[0 0 0 0 0 0 0 0 0 0 0 1 0 0 0 0 1 0 0]
[0 0 0 0 1 0 0 0 0 0 0 0 0 0 0 0 0 1 1]
[0 0 0 0 0 0 0 0 0 0 0 0 0 1 0 0 0 0 1]
[0 0 0 0 0 0 0 0 0 1 0 0 0 0 0 0 0 0 1]
[0 0 1 0 0 0 0 0 0 0 0 0 0 0 0 0 1 0 0]
```

Obr. 5.6: Matica Heawoodovho grafu [coc]

5.1.3 McGeeho graf - $cage(3, 7)$



Obr. 5.7: McGeeho graf 2D [coc]



Obr. 5.8: McGeeho graf 3D [coc]

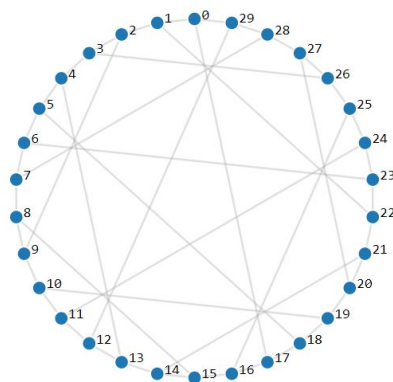
- minimálny počet vrcholov: 22
- rozmer minimálnej matice kódu: 22×33
- obvod cyklu v matici: 14
- minimálny počet hrán: 33
- cykly v grafe: 13 cyklov
 $[[23, 16, 15, 14, 13, 12, 0], [20, 19, 18, 17, 16, 15, 14, 13], [1, 2, 19, 18, 17, 16,$
 $15, 14, 13, 12, 0], [3, 2, 19, 18, 17, 16, 15], [7, 6, 18, 17, 16, 15, 14], [23, 22, 5, 6, 18, 17, 16],$
 $[20, 21, 22, 5, 6, 18, 17, 16, 15, 14, 13], [10, 9, 21, 22, 5, 6, 18, 17],$
 $[1, 8, 9, 21, 22, 5, 6, 18, 17, 16, 15, 14, 13, 12, 0], [7, 8, 9, 21, 22, 5, 6], [3, 4, 5, 6,$
 $18, 17, 16, 15], [11, 4, 5, 6, 18, 17, 16, 15, 14, 13, 12], [11, 10, 17, 16, 15, 14, 13, 12]]$
- hrany v grafe: 36 hrán
 $[(0, 1, \text{None}), (0, 12, \text{None}), (0, 23, \text{None}), (1, 2, \text{None}), (1, 8, \text{None}), (2, 3, \text{None}),$
 $(2, 19, \text{None}), (3, 4, \text{None}), (3, 15, \text{None}), (4, 5, \text{None}), (4, 11, \text{None}), (5, 6, \text{None}),$
 $(5, 22, \text{None}), (6, 7, \text{None}), (6, 18, \text{None}), (7, 8, \text{None}), (7, 14, \text{None}), (8, 9, \text{None}),$
 $(9, 10, \text{None}), (9, 21, \text{None}), (10, 11, \text{None}), (10, 17, \text{None}), (11, 12, \text{None}),$

- počet grúp automorfizmov: 32
- matica lineárneho kódu:

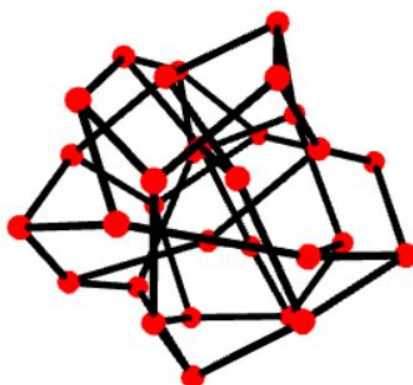
[illegible]

Obr. 5.9: Matica McGeeho grafu [coc]

5.1.4 Tutte - Coxeterov graf - $cage(3, 8)$



Obr. 5.10: Tutte-Coxeterov graf 2D [coc]



Obr. 5.11: Tutte-Coxeterov graf 3D [coc]

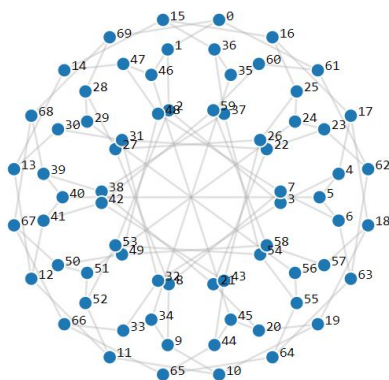
- minimálny počet vrcholov: 30
- rozmer minimálnej matice kódu: 30×45
- obvod cyklu v matici: 16
- minimálny počet hrán: 45
- cykly v grafe: 16 cyklov

$[[1, 22, 23, 24, 25, 26, 27, 28, 29, 0], [20, 21, 22, 23, 24, 25, 26, 27], [16, 15, 14, 21,$
 $22, 23, 24, 25], [7, 8, 15, 14, 21, 22, 23, 24, 25, 26, 27, 28], [11, 10, 9, 8, 15, 14, 21, 22, 23, 24],$
 $[20, 19, 10, 9, 8, 15, 14, 21], [17, 18, 19, 10, 9, 8, 15, 14, 21, 22, 23, 24, 25, 26, 27, 28, 29, 0],$
 $[6, 5, 18, 19, 10, 9, 8, 15, 14, 21, 22, 23], [3, 4, 5, 18, 19, 10, 9, 8, 15, 14, 21, 22, 23, 24, 25, 26],$
 $[13, 4, 5, 18, 19, 10, 9, 8, 15, 14], [1, 2, 9, 8, 15, 14, 21, 22],$
 $[3, 2, 9, 8, 15, 14, 21, 22, 23, 24, 25, 26], [12, 13, 14, 21, 22, 23, 24, 25, 26, 27, 28, 29],$
 $[7, 6, 23, 24, 25, 26, 27, 28], [12, 11, 24, 25, 26, 27, 28, 29], [17, 16, 25, 26, 27, 28, 29, 0]]$
- hrany v grafe: 45 hrán

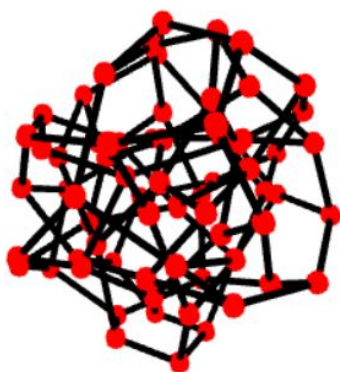
$[(0, 1, \text{None}), (0, 17, \text{None}), (0, 29, \text{None}), (1, 2, \text{None}), (1, 22, \text{None}), (2, 3, \text{None}),$
 $(2, 9, \text{None}), (3, 4, \text{None}), (3, 26, \text{None}), (4, 5, \text{None}), (4, 13, \text{None}), (5, 6, \text{None}),$

- počet grúp automorfizmov: 1440
- matica lineárneho kódu:

Obr. 5.12: Matica Tutte - Coxeterovho grafu [coc]

5.1.5 Balabanov graf - $cage(3, 10)$ 

Obr. 5.13: Balabanov(10) graf 2D [coc]



Obr. 5.14: Balabanov(10) graf 3D [coc]

- minimálny počet vrcholov: 62
- rozmer minimálnej matice kódu: 62×93
- obvod cyklu v matici: 20
- minimálny počet hrán: 93

- cykly v grafe: 36 cyklov

[[69, 68, 67, 66, 65, 64, 63, 62, 61, 0], [60, 59, 42, 41, 40, 39, 68, 67, 66, 65, 64, 63, 62, 61],
 [55, 56, 57, 58, 59, 42, 41, 40, 39, 68, 67, 66, 65, 64],
 [33, 32, 31, 30, 29, 56, 57, 58, 59, 42, 41, 40, 39, 68, 67, 66],
 [5, 4, 3, 32, 31, 30, 29, 56, 57, 58, 59, 42, 41, 40],
 [18, 17, 4, 3, 32, 31, 30, 29, 56, 57],
 [43, 26, 25, 16, 17, 4, 3, 32, 31, 30, 29, 56, 57, 58, 59, 42],
 [28, 27, 26, 25, 16, 17, 4, 3, 32, 31, 30, 29],
 [12, 11, 10, 9, 8, 27, 26, 25, 16, 17, 4, 3, 32, 31, 30, 29, 56, 57, 58, 59, 42, 41],
 [2, 53, 52, 11, 10, 9, 8, 27, 26, 25, 16, 17, 4, 3],
 [55, 54, 53, 52, 11, 10, 9, 8, 27, 26, 25, 16, 17, 4, 3, 32, 31, 30, 29, 56],
 [38, 37, 54, 53, 52, 11, 10, 9, 8, 27, 26, 25, 16, 17, 4, 3, 32, 31,
 30, 29, 56, 57, 58, 59, 42, 41, 40, 39], [15, 36, 37, 54, 53, 52, 11, 10, 9, 8, 27, 26, 25, 16],
 [34, 35, 36, 37, 54, 53, 52, 11, 10, 9],
 [60, 35, 36, 37, 54, 53, 52, 11, 10, 9, 8, 27, 26, 25, 16, 17, 4, 3, 32, 31, 30, 29, 56, 57, 58, 59],
 [24, 51, 52, 11, 10, 9, 8, 27, 26, 25],
 [50, 51, 52, 11, 10, 9, 8, 27, 26, 25, 16, 17, 4, 3, 32,
 31, 30, 29, 56, 57, 58, 59, 42, 41, 40, 39, 68, 67], [18, 19, 10, 9, 8, 27, 26, 25, 16, 17],
 [44, 45, 20, 19, 10, 9, 8, 27, 26, 25, 16, 17, 4, 3, 32, 31, 30,
 29, 56, 57, 58, 59, 42, 41, 40, 39, 68, 67, 66, 65],
 [1, 46, 45, 20, 19, 10, 9, 8, 27, 26, 25, 16, 17, 4, 3, 32, 31, 30, 29, 56, 57, 58, 59, 42, 41, 40,
 39, 68, 67, 66, 65, 64, 63, 62, 61, 0], [7, 48, 47, 46, 45, 20, 19, 10, 9, 8],
 [49, 48, 47, 46, 45, 20, 19, 10, 9, 8, 27, 26, 25, 16, 17, 4, 3, 32, 31, 30, 29, 56, 57, 58],
 [13, 14, 47, 46, 45, 20, 19, 10, 9, 8, 27, 26, 25, 16, 17, 4, 3, 32, 31, 30],
 [15, 14, 47, 46, 45, 20, 19, 10, 9, 8, 27, 26, 25, 16],
 [22, 21, 20, 19, 10, 9, 8, 27, 26, 25, 16, 17, 4, 3, 32, 31],
 [38, 21, 20, 19, 10, 9, 8, 27, 26, 25, 16, 17, 4, 3, 32, 31, 30, 29, 56, 57, 58, 59, 42, 41, 40, 39],

[33, 34, 9, 8, 27, 26, 25, 16, 17, 4, 3, 32],
 [6, 7, 8, 27, 26, 25, 16, 17, 4, 3, 32, 31,
 30, 29, 56, 57, 58, 59, 42, 41, 40, 39, 68, 67, 66, 65, 64, 63],
 [23, 24, 25, 16, 17, 4, 3, 32, 31, 30, 29,
 56, 57, 58, 59, 42, 41, 40, 39, 68, 67, 66, 65, 64, 63, 62],
 [1, 2, 3, 32, 31, 30, 29, 56, 57, 58, 59, 42, 41, 40, 39, 68, 67, 66, 65, 64, 63, 62, 61, 0],
 [23, 22, 31, 30, 29, 56, 57, 58, 59, 42, 41, 40, 39, 68, 67, 66, 65, 64, 63, 62],
 [12, 13, 30, 29, 56, 57, 58, 59, 42, 41],
 [69, 28, 29, 56, 57, 58, 59, 42, 41, 40, 39, 68],
 [50, 49, 58, 59, 42, 41, 40, 39, 68, 67],
 [44, 43, 42, 41, 40, 39, 68, 67, 66, 65],
 [6, 5, 40, 39, 68, 67, 66, 65, 64, 63]]

- hrany v grafe: 105 hrán

[(0, 1, *None*), (0, 61, *None*), (0, 69, *None*), (1, 2, *None*), (1, 46, *None*), (2, 3, *None*),
 (2, 53, *None*), (3, 4, *None*), (3, 32, *None*), (4, 5, *None*), (4, 17, *None*), (5, 6, *None*),
 (5, 40, *None*), (6, 7, *None*), (6, 63, *None*), (7, 8, *None*), (7, 48, *None*), (8, 9, *None*),
 (8, 27, *None*), (9, 10, *None*), (9, 34, *None*), (10, 11, *None*), (10, 19, *None*),
 (11, 12, *None*), (11, 52, *None*), (12, 13, *None*), (12, 41, *None*), (13, 14, *None*),
 (13, 30, *None*), (14, 15, *None*), (14, 47, *None*), (15, 16, *None*), (15, 36, *None*),
 (16, 17, *None*), (16, 25, *None*), (17, 18, *None*), (18, 19, *None*), (18, 57, *None*),
 (19, 20, *None*), (20, 21, *None*), (20, 45, *None*), (21, 22, *None*), (21, 38, *None*),
 (22, 23, *None*), (22, 31, *None*), (23, 24, *None*), (23, 62, *None*), (24, 25, *None*),
 (24, 51, *None*), (25, 26, *None*), (26, 27, *None*), (26, 43, *None*), (27, 28, *None*),
 (28, 29, *None*), (28, 69, *None*), (29, 30, *None*), (29, 56, *None*), (30, 31, *None*),
 (31, 32, *None*), (32, 33, *None*), (33, 34, *None*), (33, 66, *None*), (34, 35, *None*),
 (35, 36, *None*), (35, 60, *None*), (36, 37, *None*), (37, 38, *None*), (37, 54, *None*),
 (38, 39, *None*), (39, 40, *None*), (39, 68, *None*), (40, 41, *None*), (41, 42, *None*),

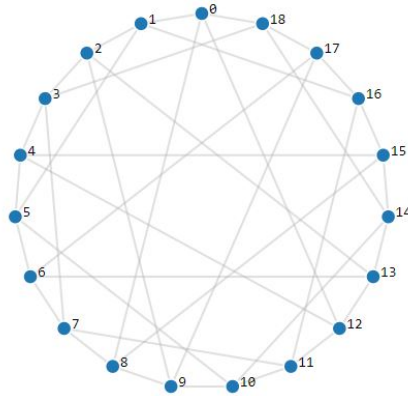
$(42, 43, \text{None}), (42, 59, \text{None}), (43, 44, \text{None}), (44, 45, \text{None}), (44, 65, \text{None}),$
 $(45, 46, \text{None}), (46, 47, \text{None}), (47, 48, \text{None}), (48, 49, \text{None}), (49, 50, \text{None}),$
 $(49, 58, \text{None}), (50, 51, \text{None}), (50, 67, \text{None}), (51, 52, \text{None}), (52, 53, \text{None}),$
 $(53, 54, \text{None}), (54, 55, \text{None}), (55, 56, \text{None}), (55, 64, \text{None}), (56, 57, \text{None}),$
 $(57, 58, \text{None}), (58, 59, \text{None}), (59, 60, \text{None}), (60, 61, \text{None}), (61, 62, \text{None}),$
 $(62, 63, \text{None}), (63, 64, \text{None}), (64, 65, \text{None}), (65, 66, \text{None}), (66, 67, \text{None}),$
 $(67, 68, \text{None}), (68, 69, \text{None})]$

- počet grúp automorfizmov: 80
- matica lineárneho kódu:

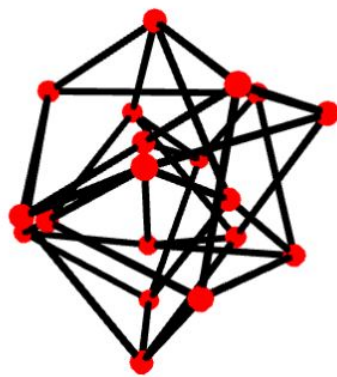
[illegible]

Obr. 5.15: Matica Balabanovho(10) grafu [coc]

5.1.6 Robertsonov graf - $cage(4, 5)$



Obr. 5.16: Robertsonov graf 2D [coc]



Obr. 5.17: Robertsonov graf 3D [coc]

- minimálny počet vrcholov: 17
- rozmer minimálnej matice kódu: 17×34
- obvod cyklu v matici: 10
- minimálny počet hrán: 34

- cykly v grafe: 20 cyklov

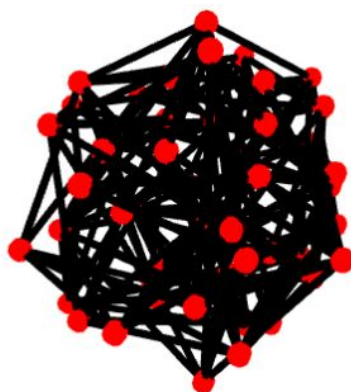
[[18, 14, 13, 12, 0], [4, 15, 14, 13, 12], [8, 15, 14, 13, 12, 0],
 [1, 16, 15, 14, 13, 12, 0], [11, 16, 15, 14, 13, 12], [6, 17, 16, 15, 14, 13],
 [18, 17, 16, 15, 14], [2, 9, 17, 16, 15, 14, 13], [8, 9, 17, 16, 15],
 [10, 9, 17, 16, 15, 14], [11, 10, 14, 13, 12], [1, 5, 10, 14, 13, 12, 0],
 [4, 5, 10, 14, 13, 12], [6, 5, 10, 14, 13], [8, 7, 6, 13, 12, 0],
 [11, 7, 6, 13, 12], [2, 3, 7, 6, 13], [18, 3, 7, 6, 13, 12, 0],
 [4, 3, 7, 6, 13, 12], [1, 2, 13, 12, 0]]

- hrany v grafe: 38 hrán

[(0, 1, *None*), (0, 8, *None*), (0, 12, *None*), (0, 18, *None*), (1, 2, *None*), (1, 5, *None*),
 (1, 16, *None*), (2, 3, *None*), (2, 9, *None*), (2, 13, *None*), (3, 4, *None*), (3, 7, *None*),
 (3, 18, *None*), (4, 5, *None*), (4, 12, *None*), (4, 15, *None*), (5, 6, *None*), (5, 10, *None*),
 (6, 7, *None*), (6, 13, *None*), (6, 17, *None*), (7, 8, *None*), (7, 11, *None*), (8, 9, *None*),
 (8, 15, *None*), (9, 10, *None*), (9, 17, *None*), (10, 11, *None*), (10, 14, *None*), (11, 12, *None*),
 (11, 16, *None*), (12, 13, *None*), (13, 14, *None*), (14, 15, *None*), (14, 18, *None*), (15, 16, *None*),
 (16, 17, *None*), (17, 18, *None*)]

- počet grúp automorfizmov: 24

- matica lineárneho kódu:



Obr. 5.20: Hoffman - Singletonov graf 3D [coc]

- minimálny počet vrcholov: 50
- rozmer minimálnej matice kódu: 50×175
- obvod cyklu v matici: 10
- minimálny počet hrán: 175
- cykly v grafe: 126 cyklov

$[[45, 24, 22, 35, 0], [30, 21, 24, 22, 35, 0], [39, 21, 24, 22, 35], [2, 47, 21, 24, 22, 35, 0],$
 $[8, 47, 21, 24, 22, 35], [48, 47, 21, 24, 22], [44, 15, 47, 21, 24, 22], [25, 15, 47, 21, 24, 22, 35, 0],$
 $[36, 15, 47, 21, 24, 22, 35], [33, 15, 47, 21, 24], [31, 18, 15, 47, 21, 24, 22], [45, 18, 15, 47, 21, 24],$
 $[39, 18, 15, 47, 21], [3, 28, 18, 15, 47, 21, 24, 22, 35, 0], [23, 28, 18, 15, 47, 21],$
 $[27, 28, 18, 15, 47, 21, 24, 22], [8, 28, 18, 15, 47],$
 $[29, 28, 18, 15, 47, 21, 24], [46, 13, 28, 18, 15, 47],$
 $[44, 13, 28, 18, 15], [11, 13, 28, 18, 15, 47, 21, 24, 22, 35],$
 $[30, 13, 28, 18, 15, 47, 21], [37, 13, 28, 18, 15, 47, 21, 24],$
 $[25, 10, 13, 28, 18, 15], [41, 10, 13, 28, 18, 15, 47, 21, 24], [48, 10, 13, 28, 18, 15, 47],$
 $[39, 10, 13, 28, 18], [43, 12, 10, 13, 28, 18, 15, 47, 21],$
 $[45, 12, 10, 13, 28, 18], [14, 12, 10, 13, 28, 18, 15, 47],$

[27, 12, 10, 13, 28], [36, 12, 10, 13, 28, 18, 15], [16, 34, 12, 10, 13, 28, 18], [8, 34, 12, 10, 13, 28],
 [33, 34, 12, 10, 13, 28, 18, 15], [30, 34, 12, 10, 13],
 [20, 34, 12, 10, 13, 28, 18, 15, 47, 21, 24, 22],
 [44, 4, 34, 12, 10, 13],
 [2, 4, 34, 12, 10, 13, 28, 18, 15, 47], [29, 4, 34, 12, 10, 13, 28],
 [39, 4, 34, 12, 10], [31, 1, 4, 34, 12, 10, 13, 28, 18],
 [46, 1, 4, 34, 12, 10, 13], [3, 1, 4, 34, 12, 10, 13, 28], [26, 1, 4, 34, 12, 10, 13, 28, 18, 15, 47, 21],
 [41, 1, 4, 34, 12, 10], [36, 1, 4, 34, 12], [17, 49, 4, 34, 12, 10, 13, 28, 18, 15],
 [23, 49, 4, 34, 12, 10, 13, 28], [45, 49, 4, 34, 12], [11, 49, 4, 34, 12, 10, 13], [48, 49, 4, 34, 12, 10],
 [31, 5, 49, 4, 34, 12, 10, 13, 28, 18], [43, 5, 49, 4, 34, 12], [25, 5, 49, 4, 34, 12, 10],
 [8, 5, 49, 4, 34], [37, 5, 49, 4, 34, 12, 10, 13], [46, 7, 5, 49, 4, 34, 12, 10, 13], [33, 7, 5, 49, 4, 34],
 [40, 7, 5, 49, 4, 34, 12, 10, 13, 28, 18, 15, 47, 21, 24, 22, 35, 0], [27, 7, 5, 49, 4, 34, 12],
 [39, 7, 5, 49, 4], [30, 9, 7, 5, 49, 4, 34],
 [42, 9, 7, 5, 49, 4, 34, 12, 10, 13, 28, 18],
 [36, 9, 7, 5, 49, 4, 34, 12], [48, 9, 7, 5, 49],
 [29, 9, 7, 5, 49, 4], [44, 6, 9, 7, 5, 49, 4], [45, 6, 9, 7, 5, 49],
 [26, 6, 9, 7, 5, 49, 4, 34, 12, 10, 13, 28, 18, 15, 47, 21], [8, 6, 9, 7, 5],
 [32, 6, 9, 7, 5, 49, 4, 34, 12, 10], [17, 38, 6, 9, 7, 5, 49], [14, 38, 6, 9, 7, 5, 49, 4, 34, 12],
 [37, 38, 6, 9, 7, 5], [20, 38, 6, 9, 7, 5, 49, 4, 34], [3, 38, 6, 9, 7, 5, 49, 4, 34, 12, 10, 13, 28],
 [39, 38, 6, 9, 7], [31, 32, 10, 13, 28, 18], [23, 32, 10, 13, 28], [2, 32, 10, 13, 28, 18, 15, 47],
 [33, 32, 10, 13, 28, 18, 15], [19, 32, 10, 13, 28, 18, 15, 47, 21, 24, 22, 35], [43, 42, 18, 15, 47, 21],

 [2, 42, 18, 15, 47], [11, 42, 18, 15, 47, 21, 24, 22, 35], [41, 42, 18, 15, 47, 21, 24],
 [20, 42, 18, 15, 47, 21, 24, 22], [40, 16, 18, 15, 47, 21, 24, 22, 35, 0], [37, 16, 18, 15, 47, 21, 24],
 [19, 16, 18, 15, 47, 21, 24, 22, 35], [48, 16, 18, 15, 47], [26, 16, 18, 15, 47, 21],
 [30, 17, 15, 47, 21], [41, 17, 15, 47, 21, 24],
 [27, 17, 15, 47, 21, 24, 22], [19, 17, 15, 47, 21, 24, 22, 35],

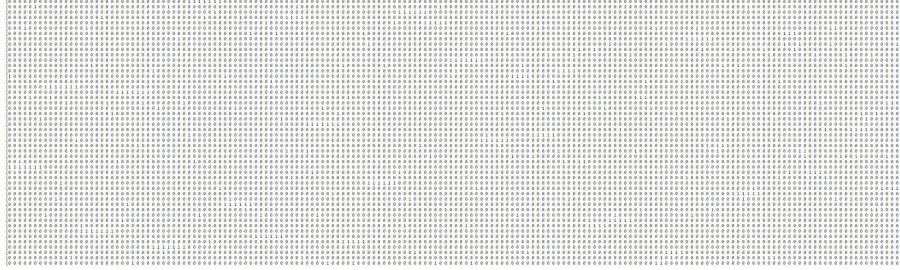
$[31, 14, 47, 21, 24, 22], [11, 14, 47, 21, 24, 22, 35],$
 $[29, 14, 47, 21, 24], [40, 14, 47, 21, 24, 22, 35, 0],$
 $[20, 46, 47, 21, 24, 22], [45, 46, 47, 21, 24], [19, 46, 47, 21, 24, 22, 35],$
 $[11, 26, 21, 24, 22, 35], [25, 26, 21, 24, 22, 35, 0], [27, 26, 21, 24, 22], [40, 23, 21, 24, 22, 35, 0],$
 $[20, 23, 21, 24, 22], [36, 23, 21, 24, 22, 35], [44, 43, 21, 24, 22], [3, 43, 21, 24, 22, 35, 0],$
 $[19, 43, 21, 24, 22, 35], [25, 29, 24, 22, 35, 0], [19, 29, 24, 22, 35], [2, 37, 24, 22, 35, 0],$
 $[36, 37, 24, 22, 35], [3, 33, 24, 22, 35, 0], [11, 33, 24, 22, 35], [8, 41, 24, 22, 35],$
 $[40, 41, 24, 22, 35, 0], [3, 48, 22, 35, 0], [2, 27, 22, 35, 0], [25, 20, 22, 35, 0],$
 $[40, 44, 22, 35, 0], [30, 31, 22, 35, 0]$

- hrany v grafe: 175 hrán

$[(0, 2, \text{None}), (0, 3, \text{None}), (0, 25, \text{None}), (0, 30, \text{None}),$
 $(0, 35, \text{None}), (0, 40, \text{None}), (0, 45, \text{None}), (1, 3, \text{None}),$
 $(1, 4, \text{None}), (1, 26, \text{None}), (1, 31, \text{None}), (1, 36, \text{None}),$
 $(1, 41, \text{None}), (1, 46, \text{None}), (2, 4, \text{None}), (2, 27, \text{None}),$
 $(2, 32, \text{None}), (2, 37, \text{None}), (2, 42, \text{None}), (2, 47, \text{None}),$
 $(3, 28, \text{None}), (3, 33, \text{None}), (3, 38, \text{None}), (3, 43, \text{None}),$
 $(3, 48, \text{None}), (4, 29, \text{None}), (4, 34, \text{None}), (4, 39, \text{None}),$
 $(4, 44, \text{None}), (4, 49, \text{None}), (5, 7, \text{None}), (5, 8, \text{None}),$
 $(5, 25, \text{None}), (5, 31, \text{None}), (5, 37, \text{None}), (5, 43, \text{None}),$
 $(5, 49, \text{None}), (6, 8, \text{None}), (6, 9, \text{None}), (6, 26, \text{None}),$
 $(6, 32, \text{None}), (6, 38, \text{None}), (6, 44, \text{None}), (6, 45, \text{None}),$
 $(7, 9, \text{None}), (7, 27, \text{None}), (7, 33, \text{None}), (7, 39, \text{None}),$
 $(7, 40, \text{None}), (7, 46, \text{None}), (8, 28, \text{None}), (8, 34, \text{None}),$
 $(8, 35, \text{None}), (8, 41, \text{None}), (8, 47, \text{None}), (9, 29, \text{None}),$
 $(9, 30, \text{None}), (9, 36, \text{None}), (9, 42, \text{None}), (9, 48, \text{None}),$
 $(10, 12, \text{None}), (10, 13, \text{None}), (10, 25, \text{None}), (10, 32, \text{None}),$
 $(10, 39, \text{None}), (10, 41, \text{None}), (10, 48, \text{None}), (11, 13, \text{None}),$

(11, 14, *None*), (11, 26, *None*), (11, 33, *None*), (11, 35, *None*),
 (11, 42, *None*), (11, 49, *None*), (12, 14, *None*), (12, 27, *None*),
 (12, 34, *None*), (12, 36, *None*), (12, 43, *None*), (12, 45, *None*),
 (13, 28, *None*), (13, 30, *None*), (13, 37, *None*), (13, 44, *None*),
 (13, 46, *None*), (14, 29, *None*), (14, 31, *None*), (14, 38, *None*),
 (14, 40, *None*), (14, 47, *None*), (15, 17, *None*), (15, 18, *None*),
 (15, 25, *None*), (15, 33, *None*), (15, 36, *None*), (15, 44, *None*),
 (15, 47, *None*), (16, 18, *None*), (16, 19, *None*), (16, 26, *None*),
 (16, 34, *None*), (16, 37, *None*), (16, 40, *None*), (16, 48, *None*),
 (17, 19, *None*), (17, 27, *None*), (17, 30, *None*), (17, 38, *None*),
 (17, 41, *None*), (17, 49, *None*), (18, 28, *None*), (18, 31, *None*),
 (18, 39, *None*), (18, 42, *None*), (18, 45, *None*), (19, 29, *None*),
 (19, 32, *None*), (19, 35, *None*), (19, 43, *None*), (19, 46, *None*),
 (20, 22, *None*), (20, 23, *None*), (20, 25, *None*), (20, 34, *None*),
 (20, 38, *None*), (20, 42, *None*), (20, 46, *None*), (21, 23, *None*),
 (21, 24, *None*), (21, 26, *None*), (21, 30, *None*), (21, 39, *None*),
 (21, 43, *None*), (21, 47, *None*), (22, 24, *None*), (22, 27, *None*),
 (22, 31, *None*), (22, 35, *None*), (22, 44, *None*), (22, 48, *None*),
 (23, 28, *None*), (23, 32, *None*), (23, 36, *None*), (23, 40, *None*),
 (23, 49, *None*), (24, 29, *None*), (24, 33, *None*), (24, 37, *None*),
 (24, 41, *None*), (24, 45, *None*), (25, 26, *None*), (25, 29, *None*),
 (26, 27, *None*), (27, 28, *None*), (28, 29, *None*), (30, 31, *None*),
 (30, 34, *None*), (31, 32, *None*), (32, 33, *None*), (33, 34, *None*),
 (35, 36, *None*), (35, 39, *None*), (36, 37, *None*), (37, 38, *None*),
 (38, 39, *None*), (40, 41, *None*), (40, 44, *None*), (41, 42, *None*),
 (42, 43, *None*), (43, 44, *None*), (45, 46, *None*), (45, 49, *None*),
 (46, 47, *None*), (47, 48, *None*), (48, 49, *None*)]

- počet grúp automorfizmov: 252000
- matica lineárneho kódu:



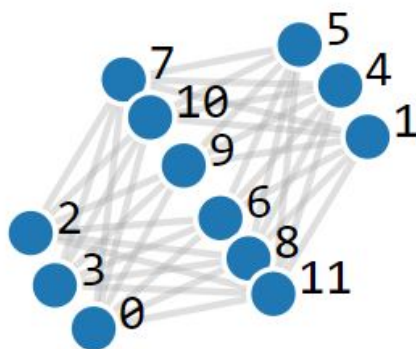
Obr. 5.21: Matica Hoffman - Singletonovho grafu [coc]

5.1.8 Generovanie kletky a následné skúmanie incidenčných matíc, grúp automorfizmov

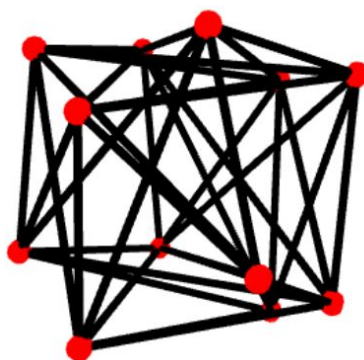
5.1.9 $cage(6, 4)$

Klietku vygenerujeme ako bipartitný graf. V Sage použijeme metódu *DegreeSequenceBipartite*(s, s), ktorá bude mať 2 rovnaké parametre s , pričom každý predstavuje zoznam vrcholov. Najskôr je potrebné si vypočítať minimálny počet vrcholov m kletky $cage(6, 4)$ a na základe výpočtu viem určiť parameter. Každý zoznam obsahuje $m/2$ vrcholov stupňa k a teda platí:

$$s = [k, k, k, k, k, k] \quad \text{len}(s) = \frac{m}{2} \quad (5.1)$$



Obr. 5.22: Cage(6,4) graf 2D [coc]



Obr. 5.23: Cage(6,4) graf 3D [coc]

- minimálny počet vrcholov: 12
- rozmer minimálnej matice kódu: 12×36
- obvod cyklu v matici: 8
- minimálny počet hrán: 36
- cykly v grafe: 25 cyklov

$[[6, 5, 11, 0], [7, 5, 11, 0], [8, 5, 11, 0], [9, 5, 11, 0], [10, 5, 11, 0], [6, 4, 11, 0],$

- 5.2 Generovanie a skúmanie kliebok, grúp automorfizmov zo zadaných incidenčných matíc
- 5.3 Generovanie incidenčných matíc a následné skúmanie kliebok, grúp automorfizmov

Kapitola 6

Záver

xxxxxxx

Literatúra

[700]

[bra]

[bus]

[cho]

[cle]

[coc] Cocalc. <https://cocalc.com/projects?session=default>.

[dura]

[durb]

[EJ11] Geoffrey Exoo and Robert Jajcay. Dynamic cage survey. *The Electronic Journal of Combinatorics [electronic only]*, 1, 01 2011.

[Exo] Geoffrey Exoo. Regular graphs of given degree and girth. <http://cs.indstate.edu/ge/CAGES/index.html>.

[glf]

[gre]

[her]

[hona]

[honb]

[kim]

[kraa]

[krab]

[kue]

[Mal07] Gabofestwe Alafang Malema. *Low-Density Parity-Check Codes: Construction and Implementation*. School of Electrical and Electronic Engineering, Faculty of Engineering, Computer and Mathematical Sciences The University of Adelaide, Australia, 2007.

[mih]

[ope]

[pia]

[pla]

[red]

[sag] Sage. <https://www.sagemath.org/>.

[sun]

[tay]

[thu]

[tnt]

[vie]

[wea]

[zhe]

Zoznam obrázkov

| | | |
|------|--|----|
| 3.1 | Vztah medzi grafom a maticou [Mal07] | 5 |
| 3.2 | Petersenov graf [EJ11] | 8 |
| 3.3 | Heawoodov graf [EJ11] | 8 |
| 3.4 | McGeeho graf [EJ11] | 9 |
| 3.5 | Tutte-Coxeterov graf [EJ11] | 9 |
| 3.6 | Robertsonov graf [EJ11] | 10 |
| 5.1 | Petersenov graf 2D [coc] | 13 |
| 5.2 | Petersenov graf 3D [coc] | 14 |
| 5.3 | Matica Petersenovho grafu [coc] | 15 |
| 5.4 | Heawoodov graf 2D [coc] | 15 |
| 5.5 | Heawoodov graf 3D [coc] | 16 |
| 5.6 | Matica Heawoodovho grafu [coc] | 17 |
| 5.7 | McGeeho graf 2D [coc] | 17 |
| 5.8 | McGeeho graf 3D [coc] | 18 |
| 5.9 | Matica McGeeho grafu [coc] | 19 |
| 5.10 | Tutte-Coxeterov graf 2D [coc] | 19 |
| 5.11 | Tutte-Coxeterov graf 3D [coc] | 20 |
| 5.12 | Matica Tutte - Coxeterovho grafu [coc] | 21 |
| 5.13 | Balabanov(10) graf 2D [coc] | 22 |

| | | |
|------|--|----|
| 5.14 | Balabanov(10) graf 3D [coc] | 22 |
| 5.15 | Matica Balabanovho(10) grafu [coc] | 25 |
| 5.16 | Robertsonov graf 2D [coc] | 26 |
| 5.17 | Robertsonov graf 3D [coc] | 26 |
| 5.18 | Matica Robertsonovho grafu [coc] | 28 |
| 5.19 | Hoffman - Singletonov graf 2D [coc] | 28 |
| 5.20 | Hoffman - Singletonov graf 3D [coc] | 29 |
| 5.21 | Matica Hoffman - Singletonovho grafu [coc] | 33 |
| 5.22 | Cage(6,4) graf 2D [coc] | 34 |
| 5.23 | Cage(6,4) graf 3D [coc] | 34 |
| 5.24 | Matica kletky Cage(6,4) [coc] | 35 |